

Cumulative Advantage in Online Markets

Stefan Wehrli

ETH Zürich

VIU, December 2006

Übersicht

- ① Einführung
 - ▶ Kumulative Vorteile in den Wissenschaften
 - ▶ Beispiele: Scale-free Networks
- ② Reputationseffekte in Online Märkten (Mikro-Ebene)
 - ▶ Games
 - ▶ Daten und Ergebnisse
- ③ Reputationssystem als Trade-Network (Makro-Ebene)
 - ▶ Verteilungen
 - ▶ Generative Prozesse
 - ▶ Degree-Verteilungsanalyse
- ④ Fazit, Kritik & Ausblick

Cumulative Advantage (CA)

- "Cumulative advantage [...] refers to the social process through which various kinds of opportunities for scientific inquiry [...] tends to *accumulate*." (Merton 1988) → Matthäus-Effekt
- "Cumulative advantage is a general mechanism for inequality across any temporal process [...] in which a favorable relative position becomes a resource that produces further relative gains." (Diprete 2006)

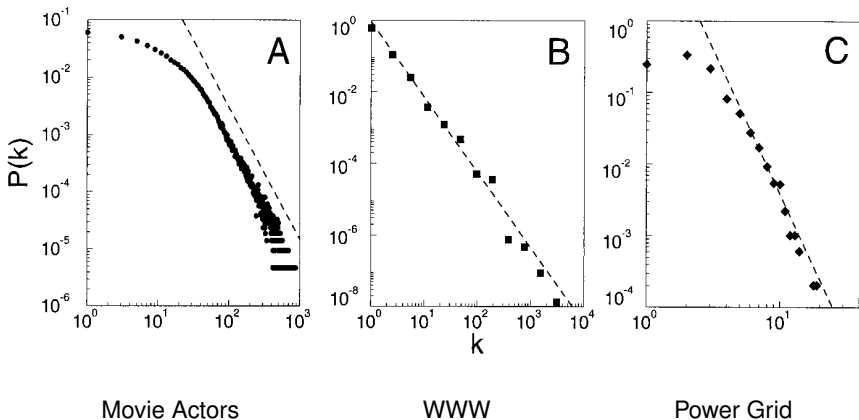
Einfachstes Beispiel:

Entwicklung eines Kapitalstocks mit fixem Zinssatz über die Zeit

CA auch bekannt unter:

"Preferential Attachment", "Positive Rückkopplung", "Path dependent increasing returns", "multiplier effects", "first mover advantage", "scarring effects", "the rich get richer", ...

Aktuelle Beispiele: Scale-free Networks



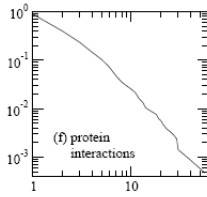
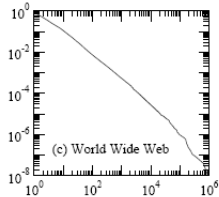
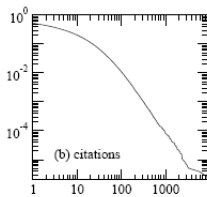
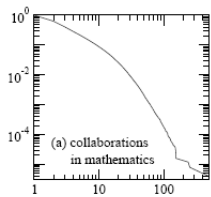
Movie Actors

WWW

Power Grid

Albert und Barabási (1999): Emergence of Scaling in Random Networks

Weitere skalen-invariante Netzwerke / Verteilungen



Weitere Beispiele:

- Sexual-Netzwerke *
- Siedlungsgrößen (US)
- Unternehmensgrößen
- Vermögensverteilungen
- Anzahl verkaufte Bücher
- Kriegsintensitäten *
- Wort-Häufigkeiten (Zipf)
- Familiennamen
- . . .

Newman (2003): The Structure and Function of Complex Networks.

* Genaue Verteilungscharakteristika noch umstritten

Charakteristika

- Kleine Ausprägungen treten sehr häufig auf, grosse dagegen extrem selten.
- Fat Tails: Degree-Verteilungen extrem rechtsschief.
- Small Worlds: Kleiner Diameter ($\ln \ln N$) und kurze durchschnittliche Pfadlängen.
- Clustering: Dichte Nachbarschaften, Communities, geschlossene Triaden
- ...

Relevanz von Powerlaws

"The New Science of Networks": Barabási (2002)

- "Nature's unmistakable sign that chaos is departing in favor of order."
- "The scale-free topology is evidence of organizing principles acting at each stage of the network formation process."
- "We expect that the scale-invariant state [...] is a generic property of many complex networks, with applicability reaching far beyond the quoted examples."

The Classics: Simon (1955)

- "The mere fact that particular data conform to the Yule distribution [...] tells little about the underlying phenomena beyond what is contained in [our] assumptions [...]."
- "The frequency with which the Yule distribution occurs in nature - particularly in social phenomena - should occasion no great surprise."

Daten: Feedback-Profil auf eBay.de

Bewertungsprofil: player004 (63203 ★)

Power Seller mich

Bewertungsprofil:	63203	Jüngste Bewertungen:			
Positive Bewertungen:	99,7%	Letzter Monat	Letzte 6 Monate	Letzte 12 Monate	
Mitglieder, die mich positiv bewertet haben:	63376	positiv	1614	10277	32063
Mitglieder, die mich negativ bewertet haben:	185	neutral	9	40	97
Alle positiven Bewertungen:	85131	negativ	7	27	64

[Weitere Informationen](#) zur Bedeutung dieser Zahlen.

Zurückgezogene Gebote (in den letzten 6 Monaten): 0

- Prozessdaten von eBay.de, automatisierte Erhebung.
- Anzahl erhaltene Bewertungen eines eBay-Mitglieds entsprechen seinem Degree im Reputationsnetzwerk.
- Reputationsnetzwerk kann nur wachsen.
- Unterscheidung in ein Belohnungs- und Sanktionsnetzwerk.

Daten: Aufbau der Erhebung

2005

AUKTIONEN

1.1 Mio Fälle aus
17 Teil-Märkten



EGO

516'000 Nutzer
und deren ego-
zentrierte Netz-
werke



ALTERI

9.3 Mio Nutzer,
verbunden mit den
Egos über 113 Mio
Transaktionen

2006

EGO

aktualisiert



ALTERI

aktualisiert



Ziel: Vollerhebung des deutschen Reputationsnetzwerkes → Analyse des Netzwerkwachstums

Mikro-Ebene: Games

Transaktionsprozess

		Player 2	
		C	D
		R, R	S, T
Player 1	C	a, a	-a, -c
	D	-c, -a	-c, -c

Bewertungsprozess

		Player 2		
		+	-	0
		a - c, a - c	-aγ - c, a - c	-c, a
Player 1	+	a - c, -aγ - c	-aγ - c, -aγ - c	-c, -aγ
	-	a, -c	-aγ, -c	0, 0
	0			

Problem:

Vertrauenspiel

Lösung:

Reputation

Payoffs: $T > R > P > S$

Problem:

Sequentielles PD

Lösung:

Reziprozität & Reputation

Payoffs: $a > c, a > 0, c > 0$

Reputationseffekte: empirische Evidenzen

Transaktionsprozess

- Zeit bis erstes Gebot
- Verkaufswahrscheinlichkeit
- Endpreis
- Wahl des Startpreises
- Wahl des Zahlungsmodus

⇒ Direkte Effekte auf Fitness

Bewertungsprozess

- Bewertungsrate: 70-80%
- Direkte Reziprozität (Second-Mover)
- Effekt der Partner-Reputation auf die Bewertungsrate (First-Mover)

⇒ Indirekte Effekte auf Fitness

Offene Fragen:

- Geburts-, Wachstums- und Sterbeprozesse

Wehrli (2005): Alles bestens, gerne wieder. Reputation und Reziprozität in Online-Auktionen.

Ergebnisse: Zeit bis zum ersten Gebot

Proportional-Hazards-Modelle für das erste Gebot

	Verkäufer	Käufer
Reputation (log. Score)	0.048*** (0.005)	
Positive Reputation (log.)		0.053*** (0.006)
Negative Reputation (log.)		-0.011 (0.007)
Verk. hat Shop	-0.081*** (0.024)	-0.077** (0.024)
Verk. hat „Mich“-Seite	-0.216*** (0.023)	-0.210*** (0.023)
Verk. ist geprüftes Mitglied	-0.173*** (0.025)	-0.177*** (0.025)
Verk. ist Powerseller	-0.081** (0.025)	-0.079** (0.025)
Startpreis	-0.107*** (0.003)	-0.107*** (0.003)
Versandkosten	-0.098*** (0.006)	-0.098*** (0.006)
Beschreibungslänge (log.)	-0.014* (0.007)	-0.014* (0.007)
Galeriebild	0.057* (0.024)	0.056* (0.024)
Fettschrift	0.526*** (0.118)	0.529*** (0.118)
Fallzahl	34'797	34'797
Anzahl „Ereignisse“	18'607	18'607

Standardfehler in Klammern; Stratifiziert nach Unterkategorie und Wochentag;
Reputation = logarithmierte Anzahl Bewertungen

Ergebnisse: Verkaufswahrscheinlichkeit

Verkaufserfolg (Logistische Regression / Mobiles)

	Neu	Gebraucht
Positive Reputation (log.)	0.142*	(0.071)
Negative Reputation (log.)	-0.353*	(0.149)
Startpreis	-0.032***	(0.003)
Anbieterkonkurrenz	-0.008*	(0.003)
Auktionsdauer	0.017	(0.038)
Kalenderzeit	-0.011	(0.010)
Beschreibungslänge (log.)	-0.018	(0.078)
Produktbild	0.134	(0.387)
(...)		
Anteil verkauft	95.06%	95.47%
Fallzahl	5'338	8'738

Standardfehler in Klammern (geklumpt); Reputation = logarithmierte Anzahl Bewertungen

Ergebnisse: Endpreis

Effekte auf den Verkaufspreis (OLS / Mobiles)

	Neu	Gebraucht
Positive Reputation (log.)	1.069*** (0.209)	1.047*** (0.231)
Negative Reputation (log.)	-1.995*** (0.501)	-2.738*** (0.472)
Startpreis	0.034*** (0.006)	0.127*** (0.010)
Anzahl Bieter	0.573*** (0.079)	1.495*** (0.143)
Anbieterkonkurrenz	-0.070*** (0.009)	-0.059*** (0.011)
Auktionsdauer	0.050 (0.109)	-0.105 (0.121)
Kalenderzeit	-0.312*** (0.026)	-0.260*** (0.027)
Kalenderzeit quadriert	0.023*** (0.003)	0.022*** (0.003)
Beschreibungslänge (log.)	1.001*** (0.236)	2.711*** (0.280)
Produktbild	3.736** (1.274)	4.002* (1.558)
(...)		
Korrigiertes R ²	0.842	0.789
Fallzahl	5'096	8'306

Abhängige Variable: Verkaufspreis (EUR); Standardfehler in Klammern
(geklumpt); Reputation = logarithmierte Anzahl Bewertungen

Ergebnisse: Bewertungsrate

Proportional-Hazards-Modelle für die Vergabe von Bewertungen

	Verkäufer	Käufer	
Partner zuerst (zeitveränd.)	2.021*** (0.118)	0.617*** (0.011)	
Positive Partnerreputation	0.088*** (0.006)	0.098*** (0.004)	
Negative Partnerreputation	-0.184*** (0.016)	-0.085*** (0.006)	
Partner zuerst X pos. P.rep.	-0.099*** (0.010)	-0.029*** (0.005)	
Partner zuerst X neg. P.rep.	0.163*** (0.023)	-0.117*** (0.010)	
Eigene positive Reputation	0.050** (0.016)	0.141*** (0.004)	
Eigene negative Reputation	-0.199*** (0.029)	-0.253*** (0.010)	
Wiederholte Interaktion	-0.281*** (0.077)	-0.467*** (0.033)	
Rollenwechsel	0.175*** (0.051)	0.185*** (0.022)	
Geprüftes Mitglied	0.210* (0.084)	0.190*** (0.037)	
Preis	-0.002 (0.001)	-0.000 (0.000)	
(...)			
Fallzahl (Klumpen)	177'561 (29'816)	177'561 (99'139)	
Anzahl „Ereignisse“	146'693	146'300	

Bootstrap-Standardfehler in Klammern (geklumpt); Reputation = logarithmierte Anzahl Bewertungen

Mikro-Makro-Verbindung: Generative Prozesse

Yule Prozess

- Geburtsprozess
- Preferential Attachment

⇒ Yule Verteilung

⇒ Pareto Verteilung

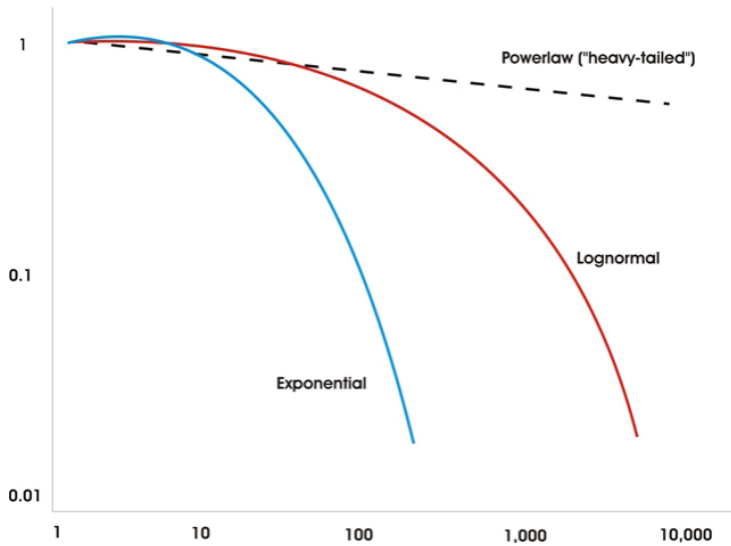
Gibrat Prozess

- Grosse Zahl kleiner multiplikativer Einflüsse
- Proportionales Wachstum, unabhängig von Grösse

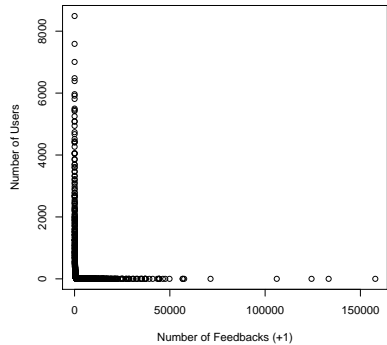
⇒ Lognormale Verteilung

Übersicht in Simkin und Roychowdhury (2006): Re-inventing Willis.

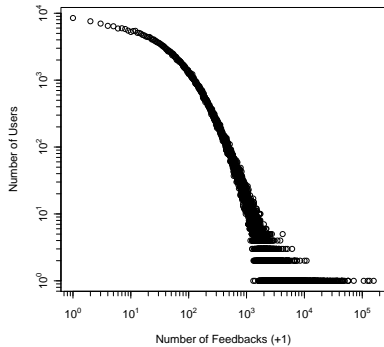
Verteilungen



Verteilung der positiven Bewertungen (2005)

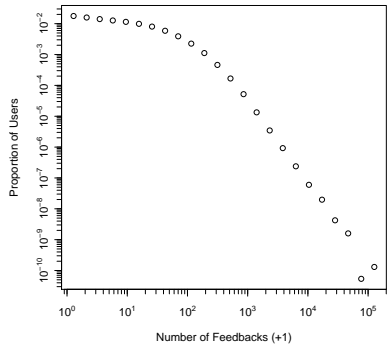


(a) normal

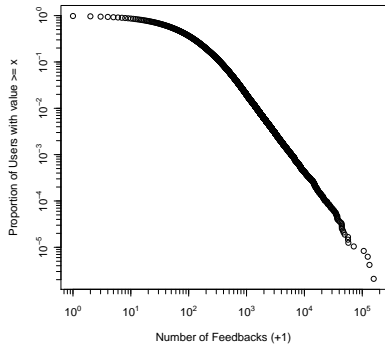


(b) Loglog-Plot

Verteilung der positiven Bewertungen (2005)

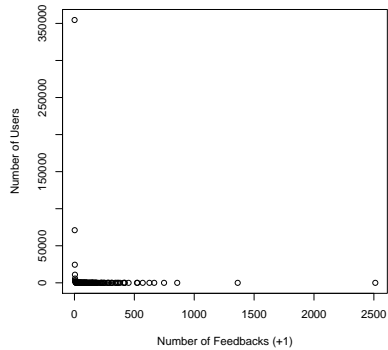


(c) log bins

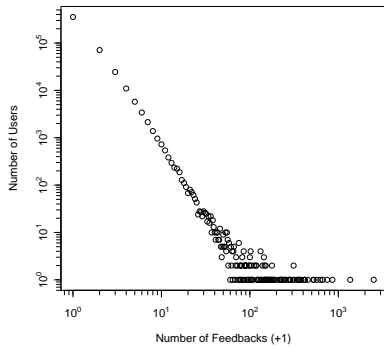


(d) ccdf (1-cdf)

Verteilung der negativen Bewertungen (2005)

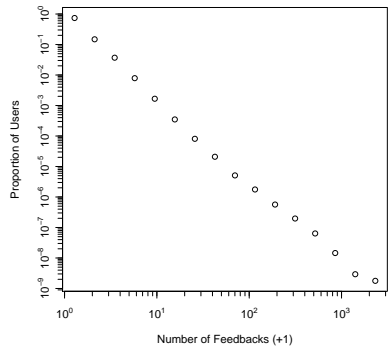


(a) normal

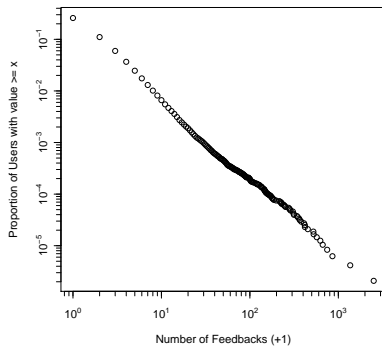


(b) Loglog-Plot

Verteilung der negativen Bewertungen (2005)



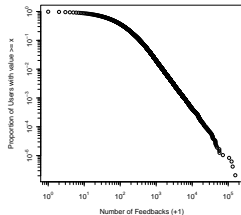
(c) log bins



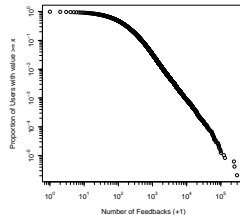
(d) ccdf (1-cdf)

Degree-Verteilungen im Vergleich

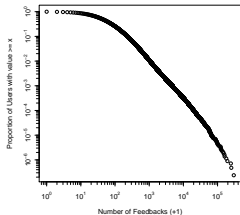
2005



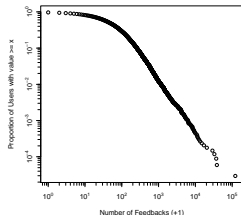
2006



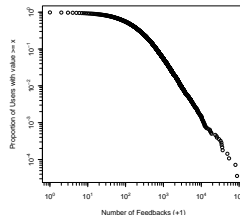
Alteri



Mobiles



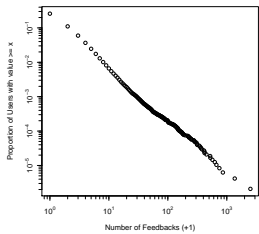
DVDs



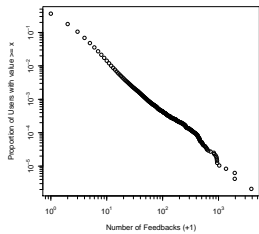
Muenzen

Degree-Verteilungen im Vergleich

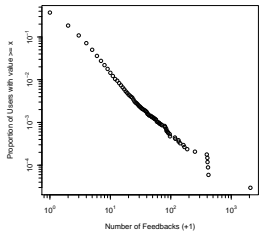
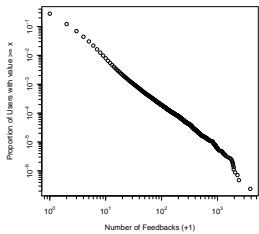
2005



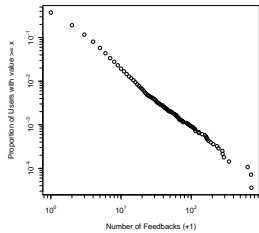
2006



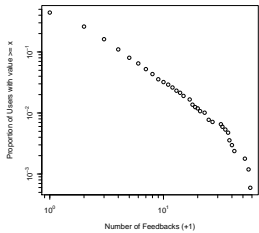
Alteri



Mobiles



DVDs



Muenzen

Schätzung Skalenparameter γ

Hypothese: $2 \leq \gamma \leq 3$

- (1) Graphische Extraktion am Loglog-Plot oder (2) OLS bei Linearität
- (3) Maximum Likelihood

Pareto (PDF und CDF):

$$\Pr[X = x] = \alpha a^\alpha x^{-(\alpha+1)}$$
$$\Pr[X \leq x] = 1 - (a/x)^\alpha$$

Power law (PDF):

$$\Pr[K = k] \sim k^{-\gamma}$$
$$\Rightarrow \gamma = \alpha + 1$$

Hill's Estimator von α

$$\hat{\alpha} = \frac{n}{\sum_{i=1}^n \log\left(\frac{x_i}{a}\right)}$$

Schätzung Skalenparameter γ

	$\alpha(a = 1)$	n	$\alpha(a = 100)$	n
2005	0.257	457'255	1.017	157'925
2006	0.225	475,311	0.988	228'723
Alteri	0.266	3'280'884	1.201	873'525

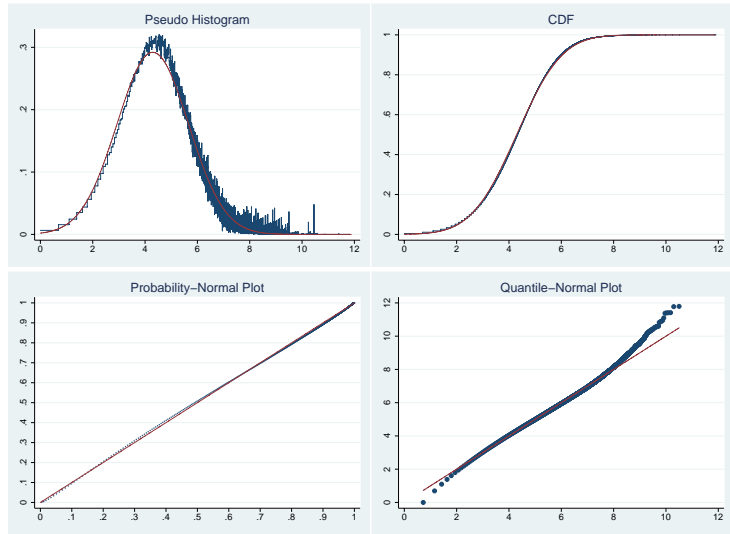
Verteilung der positiven Feedbacks
Bootstrap-Schätzungen des Pareto-Index α

	$\alpha(a = 1)$	n
2005	2.012	124,011
2006	1.643	174'811
Alteri	1.874	933'398

Verteilung der negativen Feedbacks
Bootstrap-Schätzungen des Pareto-Index α

$$\gamma = \alpha + 1, N_{ego} = 478,614, N_{alteri} = 3'290'613$$

Oder: Positive Feedbacks sind lognormal verteilt



Nur Verkäufer! Pareto und lognormale Verteilung lassen sich kaum unterscheiden.

Schlussfolgerungen

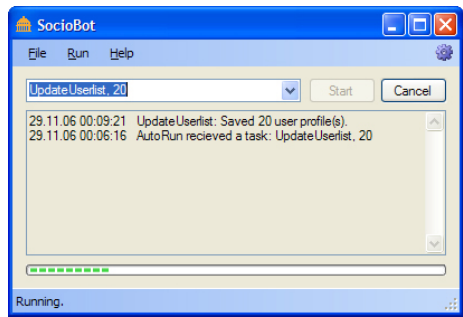
- Powerlaw-Verteilungen sind weder neu noch besonders!
- Aus Verteilungen kann man nicht auf die zugrundeliegenden Mikro-Prozesse schliessen.
- CA-Effekte von Reputation können auf der Mikro-Ebene empirisch gezeigt werden.
- Auf der Makro-Ebene zeigen sich charakteristische Verteilungen (Lognormal, Pareto), die auf einen kumulativen Prozess hinweisen.
- Geburts- und Sterbeprozesse sind zentral für die Prüfung des generativen Prozessmodells. Ein integrales CA-Modell für eBay fehlt noch!
- Sollten Reputationsprämien auf der Mikro-Ebene tatsächlich eine Form von Sozialkapitalrendite darstellen, dann sei mit der lognormalen Verteilung ein Indiz der Kapitallogik von Reputation gefunden.

Reputation@Office Reloaded

Verteiltes Beobachten. Helft mir das Netzwerk zu vervollständigen!

Mail:

wehrli@soz.gess.ethz.ch



Literatur

- Axtell, R.L. (2001): Zipf Distribution of U.S. Firm Sizes, *Science* 293: 1818-1820.
- Barabasi, A-L., Albert, R. (1999): Emergence of Scaling in Random Networks, *Science* 286: 509-512.
- Barabasi, A-L. (2002): Linked: The new science of networks. Cambridge: Perseus Publishing.
- DiPrete, T., Eirich, G. (2006): Cumulative Advantage as a Mechanism for Inequality: A Review of Theoretical and Empirical Developments. *American Sociological Review* 32: 271-297.
- Gibrat, R. (1931): Les inégalités économiques; applications: aux inégalités des richesses, à la concentrations des entreprise, aux populations des villes, aux statistiques des familles, etc., d'une nouvelle, la loi de l'effet proportionnel. Paris: Librairie du Recueil Sirey.
- Merton, R.K. (1988): The Matthew Effect in Science, II. Cumulative Advantage and the Symbolism of Intellectual Property. *ISIS* 79: 606-623.
- Newman, M.E.J. (2003): The Structure and Function of Complex Networks. *SIAM Review* 45.
- Pareto, V. (1896): Cours d'Economie Politique. Genf: Droz.
- Simkin und Roychowdhury (2006): Re-inventing Willis. University of California, Los Angeles.
- Simon, H.A. (1955): On a Class of Skew Distribution Functions, *Biometrika* 42:425-440.
- Zipf, G.K. (1949): Human Behaviour and the Principle of Least-Effort. Addison-Wesley, Cambridge MA.